

## КРАТКИЕ СООБЩЕНИЯ

УДК 546.97:546.23:548.73

КРИСТАЛЛИЧЕСКАЯ СТРУКТУРА  $[(C_5Me_4Et)_3Rh_3(\mu_3-Se)_2](PF_6)_2 \cdot CH_3CN$  И  $[(C_5Me_4Et)_2Rh_2(\mu_2-Cl)_3]PF_6$ © 2009 П. А. Абрамов<sup>1</sup>, М. Н. Соколов<sup>1,2\*</sup>, А. В. Вировец<sup>1</sup>, В. П. Федин<sup>1,2</sup><sup>1</sup>Институт неорганической химии им. А.В. Николаева СО РАН, Новосибирск<sup>2</sup>Новосибирский государственный университет

Статья поступила 10 апреля 2008 г.

Определена кристаллическая структура  $[(C_5Me_4Et)_3Rh_3(\mu_3-Se)_2](PF_6)_2$  и  $[(C_5Me_4Et)_2Rh_2(\mu_2-Cl)_3]PF_6$ , образующихся в реакции  $[(C_5Me_4Et)Rh(C_6H_6)](PF_6)_2$  с ZnSe в 4М HCl в гидротермальных условиях. В соответствии с правилом 18 электронов в треугольном кластере образуются одинарные связи металл–металл ( $Rh-Rh$  2,864(1) Å), в то время как в би-ядерном комплексе связывание металл–металл отсутствует ( $Rh...Rh$  3,216(1) Å).

**Ключевые слова:** родий, селен, кластеры, гидротермальный синтез, рентгеноструктурный анализ.

В последних работах нами было предложено использование ZnSe в солянокислой среде в закрытой системе как источника селеноводорода для синтеза кластеров и полиядерных комплексов с селенидными мостиками [1, 2]. В настоящей работе изучено взаимодействие  $[(C_5Me_4Et)Rh(C_6H_6)](PF_6)_2$  — источника координационно ненасыщенной электрофильной частицы  $\{(C_5Me_4Et)Rh\}^{2+}$ , с ZnSe в 4М HCl в гидротермальных условиях. В результате выделено два продукта —  $[Rh_3(\eta^5-C_5Me_4Et)_3(\mu_3-Se)_2](PF_6)_2 \cdot CH_3CN$  (**1**) и  $[(\eta^5-C_5Me_4Et)_2Rh_2Cl_3]PF_6$  (**2**), которые были охарактеризованы методом рентгеноструктурного анализа.

**Синтез  $[Rh_3(\eta^5-C_5Me_4Et)_3(\mu_3-Se)_2](PF_6)_2 \cdot CH_3CN$  (1) и  $[(\eta^5-C_5Me_4Et)_2Rh_2Cl_3]PF_6$  (2).** В стеклянную ампулу поместили 0,05 г (0,12 ммоль)  $[Rh(\eta^5-C_5Me_4Et)(\eta^6-C_6H_6)](PF_6)_2$  [3] и 0,018 г (0,12 ммоль) селенида цинка и добавили 3 мл 4М HCl. Ампулу выдерживали при 140 °C в течение двух суток. В результате раствор приобрел насыщенную красную окраску. К 2 мл раствора добавили 0,05 г (0,3 ммоль)  $NH_4PF_6$ . При этом выпал коричневый осадок, который отфильтровали, высушили и растворили в 2 мл ацетонитрила. Диффузией паров эфира в раствор получены игольчатые кристаллы (**1**), состав и структура которых были установлены РСА. Выход  $[Rh_3(\eta^5-C_5Me_4Et)_3(\mu_3-Se)_2](PF_6)_2 \cdot CH_3CN$  составил 80 %. Электронный спектр поглощения в ацетонитриле,  $\lambda_{max}$  (нм): 268, 306. После отделения осадка при медленном испарении маточного раствора на воздухе получены красные кристаллы соединения **2**, состав и строение которых также определены РСА. Выход 20 %.

**Рентгеноструктурный анализ.** Все измерения проведены по стандартной методике на автоматическом четырехкружном дифрактометре Bruker-Nonius X8 Apex, оснащенном двухкоординатным CCD детектором с использованием излучения молибденового анода ( $\lambda = 0,71073$  Å) и графитового монохроматора. Интенсивность отражений измерена методом  $\varphi$ - и  $\omega$ -сканирования узких (0,5°) фреймов до  $2\theta_{max} = 62,8^\circ$ . Поглощение учтено эмпирически по программе SADABS [4]. Структуры расшифрованы прямым методом и уточнены полноматричным МНК в анизотропном для неводородных атомов приближении по комплексу программ SHELXTL [5]. Атомы водорода были уточнены в приближении жесткого тела. Пространственная группа для соединения **1** не содержит центра инверсии, однако кристалл является рацемическим двой-

\* E-mail: caesar@che.nsk.su

Т а б л и ц а 1

Кристаллографические данные, характеристики эксперимента и уточнение структуры **1** и **2**

Параметр	<b>1</b>	<b>2</b>
Брутто-формула	$C_{35}H_{54}F_{12}NP_2Rh_3Se_2$	$C_{22}H_{34}Cl_3F_6PRh_2$
$M$	1245,38	755,63
Сингония	Ромбическая	Триклинная
Пространственная группа, $Z$	$P\bar{2}_12_12_1, 4$	$P\bar{1}, 2$
$a, b, c, \text{\AA}$	12,7498(4), 15,1882(5), 22,3422(5)	8,1797(2), 13,0503(3), 15,0544(4)
$\alpha, \beta, \gamma$ , град.		66,1620(10), 78,1910(10), 86,7410(10)
$V, \text{\AA}^3$	4326,5(2)	1438,22(6)
$\rho_{\text{выч.}}$ , $\text{г}/\text{см}^3$	1,912	1,745
$\mu$ , $\text{мм}^{-1}$	2,966	1,531
Размер кристалла, мм	0,07×0,07×0,46	0,70×0,65×0,04
Температура, К	90	Комнатная
Измерен. / независ. отражений	17944 / 10325	18214 / 7706
Наблюдаемых отражений	7829	5646
Число уточняемых параметров	498	400
$R_{\text{int}}$	0,0251	0,0205
Пределы по $hkl$	$-18 \leq h \leq 11, -13 \leq k \leq 20,$ $-20 \leq l \leq 28$	$-11 \leq h \leq 10, -13 \leq k \leq 18, -19 \leq l \leq 20$
$R_1$ для набл. отр.	0,0401	0,0391
$wR_2$ для всех отр.	0,0939	0,1107
GOOF для всех отр.	1,000	1,009

ником с весом одной компоненты 0,487(11). В комплексе **2** атомы хлора разупорядочены по двум близким позициям с весом 0,59/0,41. Анион  $\text{PF}_6^-$  также разупорядочен по двум позициям с весом 0,53/0,47. Кристаллографические характеристики комплекса и детали дифракционного эксперимента приведены в табл. 1. Файлы CIF, содержащие полную информацию по исследованным структурам, депонированы в Кембриджской базе структурных данных [6] под номерами 680723 (**1**) и 680724 (**2**) и могут быть получены по запросу на интернет-сайте: [www.ccdc.cam.ac.uk/data\\_request/cif](http://www.ccdc.cam.ac.uk/data_request/cif).

**Обсуждение результатов.** В качестве исходного соединения для получения **1** и **2** использовали  $[\text{Rh}(\eta^5\text{-C}_5\text{Me}_4\text{Et})(\eta^6\text{-C}_6\text{H}_6)](\text{PF}_6)_2$ , в котором атом родия координирован по  $\pi$ -типу объемным тетраметилцикlopентадиенильным анионом и молекулой бензола, являющейся хорошей уходящей группой [3]. После терmostатирования реакционной смеси в течение двух суток при 140 °C раствор приобретает ярко-красную окраску. Добавление  $\text{NH}_4\text{PF}_6$  приводит к выпадению осадка, который полностью растворяется в ацетонитриле. Медленная диффузия паров эфира в этот раствор приводит к росту красных кристаллов (**1**), состав и структура которых были определены методом PCA. В структуре присутствует кластерный катион  $[\text{Rh}_3(\eta^5\text{-C}_5\text{Me}_4\text{Et})_3(\mu_3\text{-Se}_2)_2]^{2+}$  (рис. 1), который представляет собой треугольник из атомов родия, связанных помимо связей родий—родий ( $\text{Rh}-\text{Rh}$  2,864(1) Å, 48-электронный кластер) двумя шапочными лигандами  $\text{Se}^{2-}$  ( $\text{Rh}-\text{Se}$  2,400(1) Å) (табл. 2). Углы  $\text{Rh}-\text{Se}-\text{Rh}$  составляют 73,17—73,85°. Также каждый атом родия координирован по  $\eta^5$ -типу тетраметилэтилцикlopентадиенильным лигандом ( $\text{Cp}'$ ). Пентаметилцикlopентадиенильный аналог кластера **1** был получен взаимодействием  $[(\text{Cp}'\text{-RhCl})_2(\mu\text{-Cl})_2]$  и  $\text{Al}_2\text{Se}_3$  в хлористом метилене в присутствии воды с выходом около 30 %. В этом комплексе расстояния  $\text{Rh}-\text{Rh}$  2,880(1) Å и  $\text{Rh}-\text{Se}$  2,3981(8) Å [7]. Получен также сульфидный кластер  $[\text{Cp}'_3\text{Rh}_3(\mu_3\text{-S})_2]^{2+}$ , в котором расстояние родий—родий составляет 2,830(2) Å [8]. Известны и другие соединения, содержащие фрагмент  $\{\text{Rh}_3(\mu_3\text{-Se})_2\}$  в иных лигандных

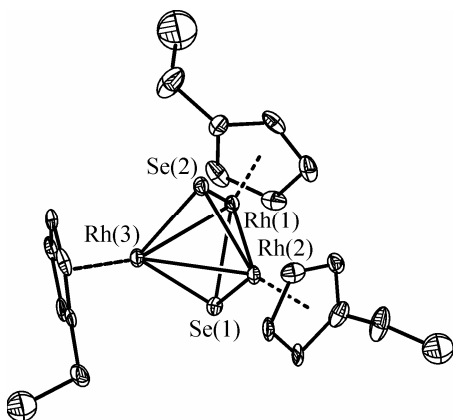
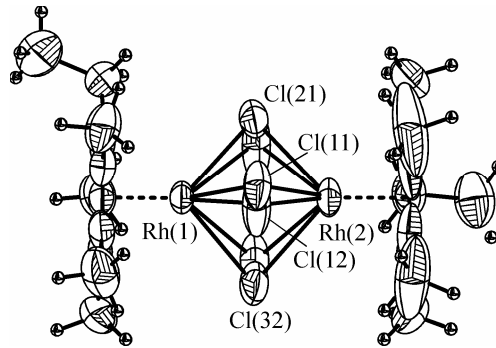


Рис. 1. Строение кластерного катиона в 1

Рис. 2. Строение катионного комплекса в 2.  
Показано разупорядочение хлоридных лигандов

окружениях; их геометрические характеристики приведены в табл. 3. Нетрудно видеть, что с увеличением степени окисления родия от 1+ до 3+ расстояния Rh—Rh закономерно уменьшаются, указывая на увеличение связывания металл—металл. При этом длины связей Rh—Se также уменьшаются, по-видимому, вследствие уменьшения ковалентного радиуса родия с ростом его степени окисления. Небольшое укорочение связей Rh—Rh и Rh—Se в 1 по сравнению с  $[\text{Cp}_3^*\text{Rh}_3(\mu_3\text{-S})_2]^{2+}$  вызвано, вероятно, стерическими различиями между замещенными циклопентадиенильными лигандами.

Интересная особенность комплекса 1 — его хиральность, вызванная наличием в составе лиганда  $\text{Cp}'$  одной этильной группы. Эта хиральность в растворе, скорее всего, не сохраняется, поскольку для циклопентадиенильных лигандов характерно вращение вокруг линии M — центр кольца. В структуре  $[\text{Cp}_3^*\text{Rh}_3(\mu_3\text{-Se})_2](\text{PF}_6)_2$  такое вращение приводит к разупорядочению  $\text{Cp}^*$ -лигандов по двум положениям. Хиральность комплекса 1, "замороженного" в кристалле, сопровождается "частичной рацемичностью" кристалла ввиду наблюдаемого рацемического двойникования.

Медленное упаривание раствора после отделения осадка 1 приводит к кристаллизации комплекса 2, в котором катионом является биядерный комплекс трехвалентного родия  $[(\eta^5\text{-C}_5\text{Me}_4\text{Et})_2\text{Rh}_2(\mu\text{-Cl})_3]^+$  (рис. 2). В соответствии с правилом 18 электронов, связь M—M отсутствует ( $\text{Rh}\dots\text{Rh} = 3,216(1) \text{ \AA}$ ). Два атома родия связаны тремя мостиковыми лигандами  $\text{Cl}^-$ , каждый из которых разупорядочен по двум позициям. Расстояния Rh—Cl приведены в табл. 4. Также разупорядочен по двум позициям и анион  $\text{PF}_6^-$ . Циклопентадиенильные лиганда образуют друг с другом двугранный угол  $3,45^\circ$ . В работе [9] структурно охарактеризован пентаметилцикlopentадиенильный комплекс  $[(\eta^5\text{-C}_5\text{Me}_5)\text{Rh}_2(\mu\text{-Cl})_3](\text{BF}_4)_2 \cdot 3\text{H}_2\text{O}$  ( $\text{Rh}\dots\text{Rh} = 3,196 \text{ \AA}$ ), полученный в качестве побочного продукта при взаимодействии аллильного комплекса  $[\text{Rh}(\eta^5\text{-C}_5\text{Me}_4\text{Et})(\eta^3\text{-1,3-Me}_2\text{C}_3\text{H}_3)](\text{BF}_4)$  с дифенилацетиленом. Геометрические параметры кластерных ядер обоих комплексов очень близки. Впервые комплексы такого типа были получены обра-

Таблица 2

Основные длины связей в кластерном ядре  $\{\text{Rh}_3\text{Se}_2\}$  в 1

Связь	$d, \text{\AA}$	Связь	$d, \text{\AA}$	Связь	$d, \text{\AA}$
Rh(1)—Rh(2)	2,8639(5)	Rh(2)—Rh(3)	2,8774(6)	Rh(3)—Se(2)	2,3960(7)
Rh(1)—Rh(3)	2,8585(6)	Rh(2)—Se(1)	2,3937(8)	Rh—C	2,151(7)—2,204(7)
Rh(1)—Se(1)	2,3983(8)	Rh(2)—Se(2)	2,3937(8)	C—C (кольцо)	1,40(1)—1,43(1)
Rh(1)—Se(2)	2,3999(8)	Rh(3)—Se(1)	2,3963(7)		

Таблица 3

*Некоторые геометрические характеристики фрагментов  $\{\text{Rh}_3(\mu_3\text{-Se})_2\}^q$* 

Формула	$Q^*$	Rh—Rh	Rh—Se	Ссылка
$[\text{Rh}_3(\mu_3\text{-Se})_2\text{Cp}'_3](\text{PF}_6)_2 \cdot \text{MeCN}^{**}$	3+	2,859—2,877	2,394—2,400	Наст. работа
		2,867 [ 9 ]	2,396 [ 2 ]	
$[\text{Rh}_3(\mu_3\text{-Se})_2\text{Cp}'_3](\text{PF}_6)_2$	3+	2,880—2,888	2,395—2,400	[ 7 ]
		2,885 [ 5 ]	2,398 [ 2 ]	
$[\text{Rh}_3(\mu_3\text{-Se})_2\text{Cp}'_2(\text{CO})_4][\text{Rh}(\text{CO})_2\text{Cl}_2]$	2,66+	2,937—3,007	2,400—2,441	[ 7 ]
		2,98 [ 4 ]	2,418 [ 17 ]	
$(\text{Et}_4\text{N})[\text{Rh}_3(\mu_3\text{-Se})_2(\text{CO})_6]$	1+	3,086—3,159	2,455—2,460	[ 11 ]
		3,13 [ 4 ]	2,458 [ 2 ]	

\* Формальная степень окисления атомов родия.

\*\* Обозначения лигандов:  $\text{Cp}^*=\eta^5\text{-C}_5(\text{CH}_3)_5$ ,  $\text{Cp}'=\eta^5\text{-C}_5(\text{CH}_3)_4(\text{C}_2\text{H}_5)$ .

Таблица 4

*Длины связей в биядерном фрагменте  $\{\text{Rh}_2\text{Cl}_3\}$  комплекса 2*

Связь	$d, \text{\AA}$	Связь	$d, \text{\AA}$	Связь	$d, \text{\AA}$
Rh(1)—Cl(11)	2,411(5)	Rh(1)—Cl(32)	2,465(6)	Rh(2)—Cl(22)	2,284(8)
Rh(1)—Cl(21)	2,480(4)	Rh(2)—Cl(11)	2,418(5)	Rh(2)—Cl(32)	2,509(6)
Rh(1)—Cl(31)	2,433(4)	Rh(2)—Cl(21)	2,500(4)	Rh—C	2,139(6)—2,111(7)
Rh(1)—Cl(12)	2,484(6)	Rh(2)—Cl(31)	2,427(4)	C—C (кольцо)	1,392(7)—1,443(10)
Rh(1)—Cl(22)	2,336(7)	Rh(2)—Cl(12)	2,476(6)		

боткой тетрафенилборатом  $[\text{Cp}^*\text{RhCl}_2]_2$  [ 10 ]. В базе данных КБСД [ 6 ] приводится 9 структурно охарактеризованных комплексов, содержащих фрагмент  $\{\text{LRh}(\mu\text{-Cl})_3\text{RhL}\}$ , где L — циклопентадиенильный лиганд. Расстояния Rh...Rh (3,196÷3,278, сп. 3,22 [ 3 ] Å, в квадратных скобках приведены стандартные отклонения при усреднении данных по всем структурам) и длины связей Rh—Cl (2,451÷2,474, сп. 2,460 [ 6 ] Å) в них близки к наблюдаемым в 2.

Таким образом, в условиях реакции  $[\text{Rh}(\eta^5\text{-C}_5\text{Me}_4\text{Et})(\eta^6\text{-C}_6\text{H}_6)](\text{PF}_6)_2$  с ZnSe в соляной кислоте параллельно протекают два процесса — замещение координированной молекулы бензола на хлоридные лиганды с образованием биядерного комплекса  $[(\eta^5\text{-C}_5\text{Me}_4\text{Et})_2\text{Rh}_2(\mu\text{-Cl})_3]^+$ , и на селенидные лиганды с образованием селенидомостикового треугольного кластера  $[\text{Rh}_3(\eta^5\text{-C}_5\text{Me}_4\text{Et})_3(\mu_3\text{-Se})_2]^{2+}$ . Попытки использовать в качестве источника родия хлорид родия(III) привели в аналогичных условиях к восстановлению металла и образованию родиевого зеркала.

Авторы благодарят к.х.н. Е.В. Пересыпкину (ИНХ СО РАН) за помощь в проведении рентгеноструктурного эксперимента.

#### СПИСОК ЛИТЕРАТУРЫ

1. Abramov P.A., Sokolov M.N., Virovets A.V. и др. // J. Clust. Sci. — 2007. — **18**, N 3. — P. 597.
2. Sokolov M.N., Abramov P.A., Peresypkina E.V. и др. // Polyhedron. — 2008. — **27**, N 15. — P. 2359.
3. White C., Maitlis P.M. // J. Chem. Soc. A. — 1971. — P. 3322.
4. Sheldrick G.M. SADABAS, Program for empirical X-ray absorption correction, Bruker AXS (1990—2007).
5. Sheldrick G.M. SHELLXTL, Programs for structure solution and refinement, Bruker AXS (1990—2007).
6. Allen F.H. // Acta Crystallogr. — 2002. — **B58**. — C. 380.
7. Seino H., Mizobe Y., Hidai M. // Organometallics. — 2000. — **19**. — P. 3631.
8. Nishioka T., Isobe K. // Chem. Lett. — 1994. — P. 1661.
9. Андрианов В.Г., Луценко З.Л., Рубежсов А.З. и др. // Координац. химия. — 1986. — **12**, № 4. — С. 558.
10. Kang J.W., Maitlis P.M. // J. Organometal. Chem. — 1971. — **30**. — P. 127.
11. Galli D., Garlaschelli L., Ciani G. et al. // J. Chem. Soc. Dalton Trans. — 1984. — P. 55.